

## О сверхпроводимости в подходе спинового полярона

А. Ф. Барабанов, Л. А. Максимов<sup>+</sup>, А. В. Михеенков<sup>1)</sup>

Институт физики высоких давлений РАН, 142092 Троицк, Московская обл., Россия

<sup>+</sup>РНИЦ “Курчатовский институт”, 123182 Москва, Россия

Поступила в редакцию 14 мая 2001 г.

После переработки 14 августа 2001 г.

Для двумерной системы с сильной корреляцией между подсистемой носителей и подсистемой локализованных спинов рассматривается сверхпроводящее спаривание. В случае, когда элементарными возбуждениями являются спиновые поляроны, анализируется модель решетки Кондо. Показано, что для появления сверхпроводящего спаривания недостаточно учета только аномальных функций Грина для голых дырок – оно возникает только при введении аномальных функций Грина для спин-поляронных операторов.

PACS: 71.10.Fd, 71.27.+a, 75.30.Mb

Хорошо известно, что в рамках обычно используемых моделей двумерного слабо допированного антиферромагнетика голые носители описываются функцией Грина, которая имеет как когерентную квази-частичную часть, так и некогерентную часть. Такая структура функции Грина обусловлена сильным взаимодействием голых носителей с подсистемой локализованных спинов  $\hat{S}_r$ . При этом важно, что энергетически низко лежащий квази-частичный пик вблизи дна зоны хорошо определен и его спектральная плотность соответствует  $\delta$ -функции  $Z_k \delta(\omega - \varepsilon_k)$  с вычетом  $Z_k \leq 1/2$ . Этот результат может быть получен в рамках самосогласованного борновского приближения для широко используемых  $t - J$ -модели, трехзонной модели Хаббарда и Кондо-решетки (см., например, [1–4]).

Сильное отличие  $Z_k$  от единицы и большая некогерентная часть указывают на то, что голая дырка  $a_{k\sigma}^+$  не является хорошей квази-частицей. Хорошей квази-частицей является более сложное возбуждение – спиновый полярон, который в общем случае описывается оператором

$$p_{k\sigma}^+ = a_{k\sigma}^+ + b_{k\sigma}^+, \quad (1)$$

где  $b_{k\sigma}^+$  представляет собой сумму членов, имеющих следующий символический вид:  $a_{k-k_1-k_2-\dots-k_n}^+ \hat{S}_{k_1} \hat{S}_{k_2} \dots \hat{S}_{k_n}$ ,  $\hat{S}_{k_i}$  (см., например, [5]).

В существующих работах по теории сильно коррелированных систем сначала строятся низколежащие по энергии спин-поляронные состояния и находятся зоны элементарных возбуждений, а в дальней-

шем при изучении проблемы сверхпроводимости рассматривается, насколько нам известно, только спаривание голых носителей, без учета спаривания операторов  $a_{k,\sigma}^+$  и  $b_{-k,-\sigma}^+$  (см., например, [6]).

В настоящей работе в рамках среднеполевого подхода для простейшего варианта решетки Кондо [7, 8] мы продемонстрируем важность учета аномальных функций Грина вида  $\langle \langle b_{-k,-\sigma}^+ | a_{k,\sigma}^+ \rangle \rangle$ . Более того, будет показано, что в рассматриваемом подходе без учета подобных функций Грина сверхпроводимость невозможна. Фактически это означает, что механизмом сверхпроводящего спаривания в данной модели является сильное взаимодействие электронов с возбуждениями антиферромагнитно упорядоченной спиновой подсистемы.

Гамильтониан решетки Кондо имеет следующий вид:

$$H^{tot} = H_0 + H_1 + H_2, \quad (2)$$

$$H_0 = \sum_{r,g} t_g a_{r+g,\sigma}^+ a_{r,\sigma} = \sum_k \varepsilon_k a_{k,\sigma}^+ a_{k,\sigma}, \quad (3)$$

$$H_1 = J \sum_{r,\sigma_1,\sigma_2} a_{r,\sigma_1}^+ S_r^\alpha \hat{\sigma}_{\sigma_1,\sigma_2}^\alpha a_{r,\sigma_2}, \quad (4)$$

$$H_2 = \frac{1}{2} I \sum_{r,g} S_{r+g}^\alpha S_r^\alpha. \quad (5)$$

Здесь узлы  $r$  образуют двумерную квадратную решетку,  $|g| = 1$  – радиус-векторы ближайших соседей,  $a_{r\sigma}^+$  – оператор рождения для ферми-частиц со

<sup>1)</sup>e-mail: mikheen@online.ru

спиновым индексом  $\sigma = \pm 1$  (пусть для определенности это будут дырки),  $H_0$  описывает обычное перескоковое движение носителей,  $t_{\mathbf{g}} = -t$ ,  $H_2$  – антиферромагнитное взаимодействие локализованных  $S = 1/2$  спинов с ближайшими соседями,  $H_1$  – гамильтониан внутриузельного кондовского взаимодействия,  $\hat{\sigma}^\alpha$  – матрица Паули,  $\alpha$  – декартовы индексы.

Запишем теперь первые два уравнения бесконечной цепочки уравнений для функций Грина, описывающих движение дырки на антиферромагнитном фоне. Эти уравнения имеют следующий вид:

$$\omega \langle \langle a_{\mathbf{r}\sigma} | a_{\mathbf{r}_1, \sigma}^+ \rangle \rangle = \delta_{\mathbf{r}, \mathbf{r}_1} + \sum_{\mathbf{g}} t_{\mathbf{g}} \langle \langle a_{\mathbf{r}+\mathbf{g}, \sigma} | a_{\mathbf{r}_1, \sigma}^+ \rangle \rangle + J \langle \langle b_{\mathbf{r}\sigma} | a_{\mathbf{r}_1, \sigma}^+ \rangle \rangle, \quad (6)$$

$$\begin{aligned} \omega \langle \langle b_{\mathbf{r}\sigma} | a_{\mathbf{r}_1, \sigma}^+ \rangle \rangle &= \\ &= \sum_{\mathbf{g}, \sigma_1} t_{\mathbf{g}} \langle \langle S_{\mathbf{r}}^\alpha \hat{\sigma}_{\sigma, \sigma_1}^\alpha a_{\mathbf{r}+\mathbf{g}, \sigma_1} | a_{\mathbf{r}_1, \sigma}^+ \rangle \rangle + \\ &+ i I e_{\alpha\beta\gamma} \sum_{\mathbf{g}, \sigma_1} \hat{\sigma}_{\sigma, \sigma_1}^\alpha \langle \langle S_{\mathbf{r}+\mathbf{g}}^\beta S_{\mathbf{r}}^\gamma a_{\mathbf{r}, \sigma_1} | a_{\mathbf{r}_1, \sigma}^+ \rangle \rangle + \\ &+ J \frac{3}{4} \langle \langle a_{\mathbf{r}\sigma} | a_{\mathbf{r}_1, \sigma}^+ \rangle \rangle - J \langle \langle b_{\mathbf{r}\sigma} | a_{\mathbf{r}_1, \sigma}^+ \rangle \rangle + \\ &+ J \sigma \langle \langle 2b_{\mathbf{r}, -\sigma}^+ \sum_{\sigma_1} (\sigma_1 a_{\mathbf{r}, \sigma_1} a_{\mathbf{r}, -\sigma_1}) | a_{\mathbf{r}_1, \sigma}^+ \rangle \rangle. \end{aligned} \quad (7)$$

Здесь  $b_{\mathbf{r}\sigma} = S_{\mathbf{r}}^\alpha \hat{\sigma}_{\sigma, \sigma_1}^\alpha a_{\mathbf{r}, \sigma_1}$ .

В настоящей работе в качестве основного состояния спиновой подсистемы принято сферически симметричное синглетное состояние. Оно характеризуется нулевым средним значением проекции спина на любом узле  $\langle S_{\mathbf{r}}^\alpha \rangle = 0$  и ненулевыми антиферромагнитными спиновыми корреляциями  $\langle S_0^\alpha S_{\mathbf{r}}^\alpha \rangle$  (которые не зависят от декартова индекса  $\alpha$  [9, 10]).

Последнее слагаемое в (7) пропорционально концентрации носителей  $x$ , которая является малым параметром задачи ( $x \leq 0.2$  в существенной для ВТСП области).

Рассмотрим сначала систему в нормальном состоянии в пределе малого допирования. Система уравнений (6), (7) для функций Грина  $\langle \langle a_{\mathbf{r}\sigma} | a_{\mathbf{r}_1, \sigma}^+ \rangle \rangle$ ,  $\langle \langle b_{\mathbf{r}\sigma} | a_{\mathbf{r}_1, \sigma}^+ \rangle \rangle$  незамкнута. Для замыкания цепочки уравнений воспользуемся стандартной проекционной техникой Цванцига – Мори [11]. Для системы уравнений (6), (7) это означает, что в правой части (7) необходимо аппроксимировать первые два члена их проекциями на некоторый выбранный операторный базис, а последним членом можно пренебречь.

Простейший операторный базис образуется двумя операторами, которые возникают в первом уравне-

нии (6) системы. Это операторы уничтожения для “голого” электрона  $a_{\mathbf{r}\sigma}$  и внутриузельного спинового поляронного оператора  $b_{\mathbf{r}\sigma}$ . Выбор такого базиса означает, что спиновый полярон будет строиться как когерентная суперпозиция оператора  $a_{\mathbf{k}\sigma}$  голой дырки и оператора  $b_{\mathbf{k}\sigma}$  дырки, связанной с локальным спином. Такой локальный полярон является аналогом синглета Занга – Райса в трехзонной модели Хаббарда. В пределе сильного кондовского взаимодействия  $J$  такие локальные поляроны лучше всего описывают истинную нижнюю квазичастичную зону.

После проектирования система уравнений (6), (7) (без последнего члена в (7)) в  $\mathbf{k}$ -представлении приобретает вид

$$(\omega - \varepsilon_{\mathbf{k}}) G_{\mathbf{k}}^1 = 1 + J G_{\mathbf{k}}^2, \quad (8)$$

$$(\omega - e_{\mathbf{k}}) G_{\mathbf{k}}^2 = \frac{3}{4} J G_{\mathbf{k}}^1, \quad (9)$$

$$G_{\mathbf{k}}^1 = \langle \langle a_{\mathbf{k}, \sigma} | a_{\mathbf{k}, \sigma}^+ \rangle \rangle; \quad G_{\mathbf{k}}^2 = \langle \langle b_{\mathbf{k}, \sigma} | a_{\mathbf{k}, \sigma}^+ \rangle \rangle; \quad (10)$$

$$\varepsilon_{\mathbf{k}} = -2t(\cos k_x + \cos k_y) - \mu;$$

$$e_{\mathbf{k}} = \left( \frac{4}{3} c_{\mathbf{g}} \varepsilon_{\mathbf{k}} - J - \frac{16}{3} I c_{\mathbf{g}} \right) - \mu. \quad (11)$$

Здесь  $b_{\mathbf{k}, \sigma}$ ,  $a_{\mathbf{k}, \sigma}$  и  $G_{\mathbf{k}}$  – фурье-образы соответствующих узельных операторов и функций Грина,  $c_{\mathbf{g}} = \langle S_{\mathbf{r}} S_{\mathbf{r}+\mathbf{g}} \rangle$  – спин-спиновая корреляционная функция. Все энергии отсчитываются от химпотенциала  $\mu$ .

Решение системы (8), (9) приводит к следующему виду спектра возбуждений для нормального состояния:

$$\omega_{1,2}(\mathbf{k}) = \frac{1}{2} \left\{ \varepsilon_{\mathbf{k}} + e_{\mathbf{k}} \mp \sqrt{(\varepsilon_{\mathbf{k}} - e_{\mathbf{k}})^2 + \frac{3}{4} J^2} \right\}. \quad (12)$$

Химпотенциал предполагается лежащим в нижней зоне  $\omega_1$ .

Для описания сверхпроводимости необходимо при выполнении проектирования расширить операторный базис, добавив операторы  $a_{\mathbf{r}}^+$ ,  $b_{\mathbf{r}}^+$ . Единственный член, имеющий ненулевую проекцию на добавочное подпространство, – последнее слагаемое в правой части (7). Его проекция на  $a_{\mathbf{r}}^+$  равна нулю, а проекция на  $b_{\mathbf{r}}^+$  имеет следующий вид (отметим, что в данном случае проекционная техника дает точно такой же результат, как и простейшее расщепление):

$$\begin{aligned} J \sigma \langle \langle 2b_{\mathbf{r}, -\sigma}^+ \sum_{\sigma_1} (\sigma_1 a_{\mathbf{r}, \sigma_1} a_{\mathbf{r}, -\sigma_1}) | a_{\mathbf{r}_1, \sigma}^+ \rangle \rangle &\approx \\ &\approx J \eta^* \langle \langle \sigma b_{\mathbf{r}, -\sigma}^+ | a_{\mathbf{r}_1, \sigma}^+ \rangle \rangle, \end{aligned} \quad (13)$$

$$\eta^* = \left\langle \sum_{\sigma_1} (\sigma_1 a_{\mathbf{r}, \sigma_1} a_{\mathbf{r}, -\sigma_1}) \right\rangle. \quad (14)$$

В результате в правой части (7) возникает аномальная функция Грина  $F^2 = \sigma \langle \langle b_{-\mathbf{k}, -\sigma}^+ | a_{\mathbf{k}, \sigma}^+ \rangle \rangle$  и аномальное среднее  $\eta^*$ . Выполняя далее стандартные вычисления, в рамках описанной проекционной техники получим замкнутую систему уравнений для сверхпроводящего случая:

$$\begin{aligned} (\omega - \varepsilon_{\mathbf{k}}) G_{\mathbf{k}}^1 &= 1 + J G_{\mathbf{k}}^2, \\ (\omega - e_{\mathbf{k}}) G_{\mathbf{k}}^2 &= \frac{3}{4} J G_{\mathbf{k}}^1 + J \eta^* F_{\mathbf{k}}^2, \\ (\omega + \varepsilon_{\mathbf{k}}) F_{\mathbf{k}}^1 &= -J F_{\mathbf{k}}^2, \\ (\omega + e_{\mathbf{k}}) F_{\mathbf{k}}^2 &= -\frac{3}{4} J F_{\mathbf{k}}^1 + J \eta G_{\mathbf{k}}^2; \end{aligned} \quad (15)$$

$$F^1 = \sigma \langle \langle a_{-\mathbf{k}, -\sigma}^+ | a_{\mathbf{k}, \sigma}^+ \rangle \rangle; \quad F^2 = \sigma \langle \langle b_{-\mathbf{k}, -\sigma}^+ | a_{\mathbf{k}, \sigma}^+ \rangle \rangle. \quad (16)$$

Отметим важнейшую роль, которую играет проектирование правой части на спин-поляронный оператор  $b^+$ . Обычно в литературе при рассмотрении спин-поляронных возбуждений выполняется проектирование только на оператор голого носителя  $a_{\mathbf{r}}^+$  (или используется эквивалентное такому проектированию приближение). Причем в некоторых моделях ( $t - J$ , трехзонная модель Хаббарда) такой подход приводит к появлению сверхпроводящего спаривания. Тем не менее, мы считаем, что подобный ограниченный подход может оказаться недостаточно корректным – из-за принципиальной важности  $b^+$ -части спин-поляронного оператора  $p^+$  (1).

Рассматриваемая модель является наиболее яркой демонстрацией такой ситуации, так как только член (13), возникающий в результате проектирования на оператор  $b^+$ , приводит к сверхпроводящему спариванию (причем к спариванию как спиновых поляронов, так и голых дырок).

Отметим, что дифференцирование функции Грина  $F^2$  по оператору  $a_{\mathbf{k}, \sigma}^+$  позволяет получить точное выражение полярон-поляронной функции Грина  $F^3 = \sigma \langle \langle b_{-\mathbf{k}, -\sigma}^+ | b_{\mathbf{k}, \sigma}^+ \rangle \rangle$  через  $F^2$ .

Решение системы уравнений (15) позволяет получить выражения для нормальных функций Грина, перенормированных спектра и вычетов  $Z_{\mathbf{k}}$ . Однако нас интересует только аномальная функция Грина  $F^1$ . Она имеет вид

$$F_{\mathbf{k}}^1 = - \left( \frac{3}{4} \right)^2 \eta J^3 D_{\mathbf{k}}^{-1}, \quad (17)$$

$$\begin{aligned} D_{\mathbf{k}} &\equiv \left[ (\omega - \varepsilon_{\mathbf{k}})(\omega - e_{\mathbf{k}}) - \frac{3}{4} J^2 \right] \times \\ &\times \left[ (\omega + \varepsilon_{\mathbf{k}})(\omega + e_{\mathbf{k}}) - \frac{3}{4} J^2 \right] - \\ &- |\eta|^2 (\omega + \varepsilon_{\mathbf{k}})(\omega - \varepsilon_{\mathbf{k}}) J^2. \end{aligned} \quad (18)$$

Спектр возбуждений определяется уравнением  $D_{\mathbf{k}} = 0$ . Его удобно записать в виде

$$(\omega^2 - \omega_1^2)(\omega^2 - \omega_2^2) - |\eta|^2 (\omega^2 - \varepsilon_{\mathbf{k}}^2) J^2 = 0, \quad (19)$$

где  $\omega_1(\mathbf{k}), \omega_2(\mathbf{k})$  – решения уравнения (12), определяющего двухзонный спектр спинового полярона.

Мы предполагаем, что уровень Ферми расположен в нижней поляронной зоне  $\omega_1$ .  $J$  – самый большой параметр задачи,  $(\omega_2^2 - \omega_1^2) \sim J^2$ . Мы ищем решение (19), близкое к уровню Ферми. Поэтому можно положить  $(\omega^2 - \omega_2^2) \approx (\omega_1^2 - \omega_2^2)$ . Тогда  $F_{\mathbf{k}}^1$  определяется выражением

$$F_{\mathbf{k}}^1 = \left( \frac{3}{4} \right)^2 \eta J^3 \alpha_{\mathbf{k}}^{-2} [\omega^2 - E_{\mathbf{k}}^2]^{-1}, \quad (20)$$

$$E_{\mathbf{k}} = \sqrt{\omega_1^2 \alpha_{\mathbf{k}}^{-2} (\omega_2^2 - \omega_1^2) + \Delta_{\mathbf{k}}^2}, \quad (21)$$

$$\Delta_{\mathbf{k}}^2 = \alpha_{\mathbf{k}}^{-2} \varepsilon_{\mathbf{k}}^2 J^2 |\eta|^2, \quad (22)$$

$$\alpha_{\mathbf{k}}^2 = (\omega_2^2 - \omega_1^2) + \frac{3}{4} |\eta|^2 J^2. \quad (23)$$

Выражая стандартным образом аномальное среднее  $\eta$  (14) через мнимую часть функции Грина  $F_{\mathbf{k}}^1$  (20), получаем самосогласованное уравнение для  $\eta$ :

$$\eta = \frac{v}{(2\pi)^2} \int d\omega d\mathbf{k} n(\omega) \frac{1}{\pi} \text{Im} F^1, \quad (24)$$

где  $v$  – площадь элементарной ячейки,  $n(\omega) = (\exp(\omega/T) + 1)^{-1}$ .

Подчеркнем, что, хотя в уравнении (24) фигурирует аномальная функция Грина только голых дырок, однако эта функция связана с поляронными функциями  $G_2, F_2$  (см. (15)).

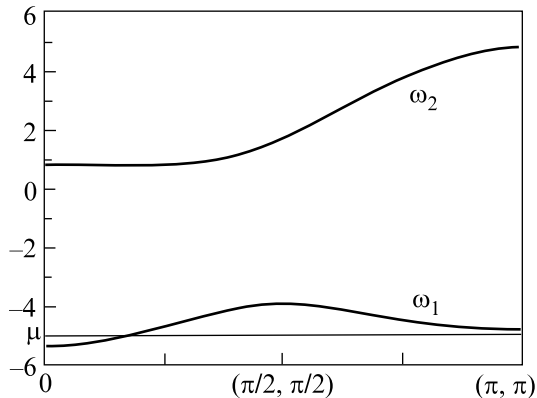
После интегрирования по  $\omega$  уравнение для  $\eta$  приобретает вид

$$1 = 2 \left( \frac{3}{4} \right)^2 J^3 \frac{v}{(2\pi)^2} \int d\mathbf{k} \alpha_{\mathbf{k}}^{-2} \frac{1 - 2n(E_{\mathbf{k}})}{2E_{\mathbf{k}}}. \quad (25)$$

Приведем оценку для сверхпроводящей щели  $\Delta$  при  $T = 0$  в простейшем логарифмическом приближении, пренебрегая в (25) зависимостью  $\Delta_{\mathbf{k}}$  от  $\mathbf{k}$ . Так как

$\eta^2 \ll 1$ , можно положить  $\alpha_{\mathbf{k}}^{-2}(\omega_2^2 - \omega_1^2) \approx 1$  (см. (23)). Уравнение (25) имеет стандартный вид теории БКШ с эффективной константой связи  $g \sim J^3 \alpha_{\mathbf{k}}^{-2} \sim J$ , а не  $J^2$ , как было бы в случае слабого кондовского взаимодействия.

На рисунке представлен типичный вид поляронных зон  $\omega_1(\mathbf{k}) + \mu$ ,  $\omega_2(\mathbf{k}) + \mu$  (12) (для следующих



Относительное положение локальных спин-поляронных зон  $\omega_1 + \mu$  (нижняя кривая),  $\omega_2 + \mu$  (верхняя кривая) в направлении  $(0,0) - (\pi,\pi)$ . Горизонтальная прямая качественно указывает на положение химпотенциала в нижней зоне. Энергетический параметр  $t = 1$ , остальные параметры приведены в тексте

значений параметров:  $t_g = -t$ ,  $J = 3t$ ,  $I = 0.4t$ ,  $t = 1$ ,  $c_g = -0.33$ ). Будем считать, что химпотенциал расположен около центра нижней зоны. Тогда легко убедиться, что  $\omega_2 \sim J$ . Энергетический параметр обрезания определяется либо шириной нижней зоны  $W_1$ , либо характерной энергией спиновых возбуждений  $I$ . В нашем случае обе эти величины порядка  $t$ . Тогда для  $\Delta$  имеет место следующая оценка:

$$\Delta = W_1 \exp\left(-\frac{\pi W_1 \omega_2^2}{2(3/4)^2 J^3}\right) \sim t \exp(-t/J). \quad (26)$$

Типичное значение  $W_1$  для ВТСП  $0.3 \div 0.5$  эВ, что дает для щели разумную оценку  $\Delta \approx 100$  К.

Отметим, что более точная оценка для  $\Delta_{\mathbf{k}}$  дается выражением (22), содержащим зависимость  $\Delta$  от  $\mathbf{k}$ . Главная часть этой зависимости определяется множителем  $\varepsilon_{\mathbf{k}}^2$ . Нетрудно видеть, что в нашем случае  $\varepsilon_{\mathbf{k}} > 0$  для любого  $\mathbf{k}$ . То есть у щели  $\Delta_{\mathbf{k}}$  нет нулей на ферми-поверхности. Однако, как было отме-

чено выше, мы использовали простейший вид спин-поляронного оператора – локальный спиновый полярон. В недавних работах авторов на примере трех моделей ( $s - d$  [12], эффективной трехзонной [13] и  $t - J$  [14]) было продемонстрировано, насколько важную роль при рассмотрении спинового полярона играет расширение операторного базиса – включение операторов, описывающих “одевание” локального полярона спиновыми флуктуациями в пределах спиновой корреляционной длины  $\xi$ . Такое расширение базиса существенно понижает спин-поляронную зону и может привести к более сложной зависимости  $\Delta$  от  $\mathbf{k}$ , в том числе и появлению нулей  $\Delta$  на поверхности Ферми.

Работа выполнена при поддержке INTAS (грант # 97-11066), Российского фонда фундаментальных исследований (грант # 01-02-16719) и НАТО (Collaborative Linkage Grant # PST.CLG.976416). Авторы благодарны Р.Кузяну и Р.Хайну за стимулирующие обсуждения.

1. E. Dagotto, Rev. Mod. Phys. **66**, 763 (1994).
2. Z. Liu and E. Manousakis, Phys. Rev. **B45**, 2425 (1992).
3. G. Martinez and P. Horsch, Phys. Rev. **B44**, 317 (1991).
4. R. O. Kuzian, R. Hayn, A. F. Barabanov, and L. A. Maksimov, Phys. Rev. **B58**, 6194 (1998).
5. O. F. de Alcantara Bonfim and G. F. Reiter, in Proc. of the Univ. of Miami Workshop on Electronic Structure and Mechanisms for High Temperature Superconductivity, Ed. J. Ashkenazi, Plenum, N.Y., 1991.
6. N. M. Plakida and V. S. Oudovenko, Phys. Rev. **B59**, 11949 (1999).
7. P. Prelovshchek, Phys. Lett. **A126**, 287 (1988).
8. A. Ramsak and P. Prelovshchek, Phys. Rev. **B40**, 2239 (1989); **42**, 10415 (1990).
9. A. F. Barabanov and V. M. Beresovsky, Phys. Lett. **A186**, 175 (1994).
10. A. F. Barabanov and V. M. Beresovsky, ЖЭТФ **106**, 1156 (1994).
11. H. Mori, Prog. Theor. Phys. **33**, 423 (1965).
12. A. F. Barabanov, O. V. Urazaev, A. A. Kovalev, and L. A. Maksimov, Письма в ЖЭТФ **68**, 386 (1998).
13. A. F. Barabanov, R. Hayn, A. A. Kovalev et al., ЖЭТФ (принято в печать), 2001; cond-mat/009237.
14. R. Hayn, A. F. Barabanov, and L. A. Maksimov, Physica **B259-261**, 749 (1999).